

2-9 地盤の振動による堤体の応答について

徳島大学工学部 正員 工博 小田 英一
 同 正員 宇都宮英彦
 同 正員 山上 拓男
 大阪市役所 正員 ○山口 健二

1. まえがき

従来の地盤の振動による堤体の応答解析においては、基礎地盤は一様な振動をするとし、また、堤体は均質な材料からなり、さらに、堤体をはり出し梁のような構造として扱うことにより解析を進めていた。しかし、本論文においては、最近開発された有限要素法を行い、さらに、電子計算機を駆使することにより、地盤の振動に伝播のずれを考え、有限な自由度を持つ堤体の応答解析を行いました。扱う堤体は不均質な弾性体材料で構成され、個々の材料は等方性であるとし、地盤の振動は正弦波形の変位関数で規定しました。

2. 解析手順

よく知られている静的剛性方程式は

$$[K]\{\delta\} = \{P\} \quad (1)$$

であり、ここに、節点数を n 個とすれば、 $[K]$ は $2n \times 2n$ の剛性マトリックスであり、 $\{\delta\}$ は $2n \times 1$ の節点変位ベクトルであり、 $\{P\}$ は $2n \times 1$ の荷重ベクトルである。

地盤の振動が外力として作用し、強制振動しているときの運動方程式は、静的剛性方程式(1)に慣性力(質量と加速度の積に負号をつけた力)の項および粘性抵抗(速度に比例し運動をさまたげたり向に作用する力)の項を導入すれば次式、つぎのように表わされる。

$$[M]\{\ddot{\delta}\} + [C]\{\dot{\delta}\} + [K]\{\delta\} = \{P\} \quad (2)$$

$$[M]\{\ddot{\delta}\} + [C]\{\dot{\delta}\} + [K]\{\delta\} = \{P\} \quad (2')$$

ここに、 $[C]$ は $2n \times 2n$ の減衰マトリックスであり、 $[M]$ は $2n \times 2n$ の集中質量マトリックスであり、 $[K]$ は $2n \times 2n$ の可溶の質量マトリックスである。 $[M]$ は三角形要素の質量を各2ヶ所の節点に振り分けた要素の質量マトリックスと合成したものであり、 $[M]$ は質量が要素全体に分布(慣性力が分布)しているとして求めた要素の質量マトリックスと合成したものである。

地盤の振動を $U_e(t) = A_0 \sin(\beta_e t)$, $\dot{U}_e(t) = 0$ と規定すれば、地盤振動の位相のずれは

$$U_{at+\theta}(t) = U_e(t - \frac{\theta}{V_s}) = A_0 \sin(\beta_e(t - \frac{\theta}{V_s})) \quad , \quad \dot{U}_{at+\theta}(t) = 0 \quad (3)$$

で表わされる。ここで、 A_0 は外力の半振幅、 β_e は外力の円振動数、 V_s は操作底部の伝播速度、 a は堤体左端より断点 a までの横断距離である。

式(2),(2')の行列表示の運動方程式を解けば、応答振動が求まるのであるが、これを直接解くことは困難であるので、応答変位式(4)に示すように準静的変位と動的変位に分割して解析を進める。準静的変位 δ_{st} とは外力としての地盤の運動が準静的に(弾性力として)作用することによって生じる変位であり、動的変位 δ_{dt} とは準

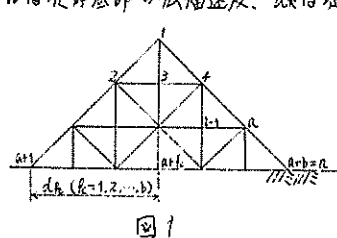


図1

静的変位による慣性力および粘性抵抗が外力のように作用することによって生じる変位である。

$$\{\delta\} = \{\delta_0 + \delta_d\} = \begin{cases} Y_{01} + Y_{d1} \\ Y_{02} + Y_{d2} \end{cases} = \begin{cases} Y_{01} \\ Y_{02} + 0 \end{cases} \quad (4)$$

式(4)において、 $\{\delta_0\}$ および $\{\delta_d\}$ は基礎より上の節点での準静的変位および動的変位であり、 $\{\delta_d\}$ は基礎の部分の節点での準静的変位および動的変位である。 $\{\delta_d\}$ は式(3)によつて定義され、 $\{\delta_d\}$ は動的変位を求めるとき、基礎の部分はrigid bodyとして扱われるので0となる。

準静的変位 $\{\delta_0\}$ は準静的つり合ひ方程式

$$[K]\{\delta_0\} = [P] \quad \text{すなはち} \quad \begin{bmatrix} K_{11} & K_{12} \\ K_{21} & K_{22} \end{bmatrix} \begin{bmatrix} Y_{01} \\ Y_{02} \end{bmatrix} = \begin{bmatrix} 0 \\ 0 \end{bmatrix} \quad (5)$$

かう、基礎より上の節点での準静的つり合ひ方程式

$$[K_0]\{Y_{01}\} + [K_{12}]\{Y_{02}\} = 0 \quad (6)$$

を解いて求める。動的変位 $\{\delta_d\}$ は動的つり合ひ方程式

$$[M]\{\ddot{\delta}_d\} + [C]\{\dot{\delta}_d\} + [K]\{\delta_d\} = -[M]\{\ddot{Y}_{01}\} - [C]\{\dot{Y}_{01}\} \quad (7)$$

$$[M]\{\ddot{\delta}_d\} + [C]\{\dot{\delta}_d\} + [K_0]\{Y_{01}\} = -[M]\{\ddot{Y}_{01}\} - [C_0]\{Y_{01}\} \quad (7')$$

を部分マトリックスに分割して、基礎より上の節点での動的つり合ひ方程式

$$[M_0]\{\ddot{Y}_{01}\} + [C_0]\{\dot{Y}_{01}\} + [K_0]\{Y_{01}\} = -[M_0]\{\ddot{Y}_{01}\} - [C_{01}]\{Y_{01}\} - [C_{12}]\{Y_{02}\} \quad (8)$$

$$[M_0]\{\ddot{Y}_{01}\} + [C_0]\{\dot{Y}_{01}\} + [K_0]\{Y_{01}\} = -[M_0]\{\ddot{Y}_{01}\} - [M_0]\{\ddot{Y}_{02}\} - [C_{01}]\{Y_{01}\} - [C_{12}]\{Y_{02}\} \quad (8')$$

を解いて求めればよいが、式(8)(8')において、左辺の減衰項 $[C_0]\{\dot{Y}_{01}\}$, $[C_{12}]\{Y_{02}\}$ は動的変位 $\{\delta_d\}$ に与える影響は小さいので、これらを無視して

$$[M_0]\{\ddot{Y}_{01}\} + [C_0]\{\dot{Y}_{01}\} + [K_0]\{Y_{01}\} = -[M_0]\{\ddot{Y}_{01}\} \quad (9)$$

$$[M_0]\{\ddot{Y}_{01}\} + [C_0]\{\dot{Y}_{01}\} + [K_0]\{Y_{01}\} = -[M_0]\{\ddot{Y}_{01}\} - [M_0]\{\ddot{Y}_{02}\} \quad (9')$$

のようにならう。式(9), (9')において、減衰マトリックス $[G]$ は定義されていながら、減衰マトリックス $[G]$ の影響を、減衰のない自由振動の運動方程式

$$[M]\{\ddot{y}\} + [K_0]\{y\} = 0 \quad \text{すなはち} \quad [K_0]\{y\} = \lambda[M]\{y\} \quad (\lambda = \omega^2) \quad (10)$$

$$[M_0]\{\ddot{y}\} + [K_0]\{y\} = 0 \quad \text{すなはち} \quad [K_0]\{y\} = \lambda[M_0]\{y\} \quad (\lambda = \omega^2) \quad (10')$$

によつて定義される振動形に対して、この減衰マトリックス $[G]$ は直交すると仮定し、こうに、振動形に対する減衰比を予想すれば、この影響を近似することができます。

固有値問題(10)の場合

(I) $[M]^{-\frac{1}{2}}$ を計算し、対称行列 $[A] = [M]^{-\frac{1}{2}}[K_0][M]^{-\frac{1}{2}}$ を求む。対称行列 $[A]$ の固有値問題 $[A]\{\lambda\} = \gamma\{\chi\}$ と γ を法により解いて、直交変換により対角化された行列 $(X)^T[A](X) = [N]$ とする。

(II) 式(10)の固有値の行列 $[A]$ は $[N]$ に等しく、その対角要素の平方根が各モードの固有角振動数 ω であり、振動形の行列 $[Y]$ は $[M]^{-\frac{1}{2}}[X]$ で与えられる。

(10')の場合

(I) 対称行列 $[M_0]$ の固有値問題 $[M_0]\{\lambda\} = \gamma\{\chi\}$ をヤコビ法で解く。直交変換により対角化された行列 $(V)^T[M_0](V) = [T]$ を得る。つづいて、 $[T]^{-\frac{1}{2}}$ を計算し、さらに、 $[V][T]^{-\frac{1}{2}}$ を計算する。

(II) 対称行列 $[A] = ((V)[T]^{-\frac{1}{2}})^T[K_0](V)[T]^{-\frac{1}{2}}$ を計算し、対称行列 $[A]$ の固有値問題 $[A]\{\lambda\} = \gamma\{\chi\}$ をヤコビ法で解き、直交変換により対角化された行列 $(X)^T[A](X) = [N]$ を得る。

(III) $[A] = [N]$ であり、 $[Y] = [V][T]^{-\frac{1}{2}}[X]$ である。

式(10), (10)の解として2個の固有内振動数と $\alpha \times \beta$ の振動形の行列 $\{Y\}$ が求まると、任意の運動方程は、これらの振動形を適當な割合で重ね合わせたものと考え、 $\{\zeta\}$ を各々の振動形と混じる比率として、動的変位 $\{R\}$ は

$$\{R\} = \{Y\}\{\zeta\} \quad (11)$$

で表される。式(11)の $\{\zeta\}$ は一般に基準座標と呼ばれるものである。

式(11)を式(9), (9')に代入し、左から振動形の行列 $\{Y\}$ の転置行列 $\{Y\}^T$ を持たると

$$\{Y\}^T [M_i] \{Y\} \{\zeta\} + \{Y\}^T [C_i] \{Y\} \{\zeta\} + \{Y\}^T [K_i] \{Y\} \{\zeta\} = - \{Y\}^T [M_i] \{\ddot{\zeta}\} = \{R\} \quad (12)$$

$$\{Y\}^T [M_i] \{Y\} \{\zeta\} + \{Y\}^T [C_i] \{Y\} \{\zeta\} + \{Y\}^T [K_i] \{Y\} \{\zeta\} = - \{Y\}^T [M_i] \{\ddot{\zeta}\} - \{Y\}^T [M_{i+1}] \{\ddot{\zeta}\} = \{R\} \quad (12')$$

を得る。式(12), (12')の左辺第1項および第2項の係数行列は

$$\{Y\}^T [M_i] \{Y\} = [I] \quad \{Y\}^T [K_i] \{Y\} = [N] = [\Lambda] \quad (13)$$

$$\{Y\}^T [M_{i+1}] \{Y\} = [I] \quad \{Y\}^T [K_{i+1}] \{Y\} = [N] = [\Lambda] \quad (13')$$

となる。この性質がよく知られている振動形の直交性である。減衰マトリックス $[C]$ も同様に振動形 $\{Y\}$ に対して直交するものとし、その対角要素 c_{ii} が w_{ihi} (h_i は減衰比)で表されるとして、式(12), (12')はつぎに示す式(14)のようにたがいに独立した2n個の微分方程式に分割される。すなわち、行列表示の運動方程式(7), (9')が独立した式となり、式(7), (9')における減衰項 $[C]$ の影響が近似されることになる。

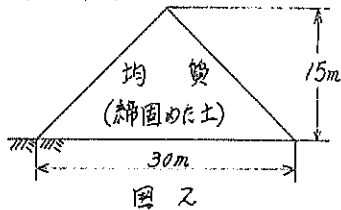
$$\ddot{\zeta}_i(t) + 2w_{ihi} \dot{\zeta}_i(t) + w_{ihi}^2 \zeta_i(t) = R_i(t) \quad (i=1, 2, \dots, 2n) \quad (14)$$

式(14)の2階非同次線形微分方程式の解は

$$\zeta_i(t) = \frac{1}{w_{ihi}} \int_0^t e^{-w_{ihi}(t-t')} \sin w_{ihi} \sqrt{1-h_i^2} (t-t') R_i(t') dt' \quad (i=1, 2, \dots, 2n) \quad (15)$$

となり、これを値計算して、基準座標ベクトル $\{\zeta\}$ を求めれば、動的変位 $\{R\}$ は式(11)より求まる。これまでに求まつた準静的変位 $\{r\}$, $\{r\}$, 動的変位 $\{R\}$ を合計すれば、式(4)で示される応答変位が求まる。要素の応力は、 $[S]$ を应力变换マトリックスとすれば、 $\sigma = [S]\{\varepsilon\}$ より計算できる。

3. 計算例



1次固有内振動数 $\omega = 45.5 \text{ rad/sec}$

・ 固有振動周期 $T = \frac{2\pi}{\omega} = 0.14 \text{ sec}$

・ 固有振動数 $N = \frac{1}{T} = 7.3 / \text{sec}$

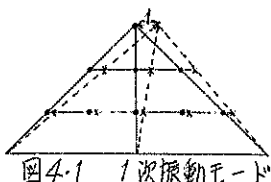
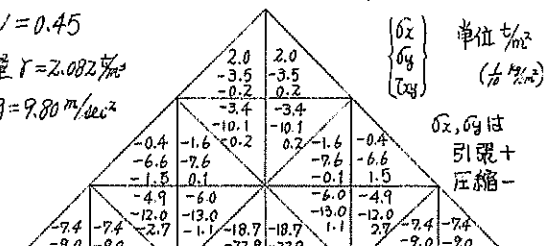


図4-1 1次振動モード

弾性定数 $E = 57160 \text{ kN/m}^2$
ポアソン比 $\nu = 0.45$
単位体積重量 $\gamma = 2.022 \text{ kN/m}^3$
重力加速度 $g = 9.80 \text{ m/sec}^2$

自重による応力分布 (Statue)



(δ_x , δ_y)

(δ_z)

(δ_w)

(δ_x , δ_y , δ_z , δ_w)

(δ_x , δ_y , δ_z , δ_w)

(δ_x , δ_y , δ_z , δ_w)

(δ_x , δ_y , δ_z , δ_w)

(δ_x , δ_y , δ_z , δ_w)

(δ_x , δ_y , δ_z , δ_w)

(δ_x , δ_y , δ_z , δ_w)

(δ_x , δ_y , δ_z , δ_w)

(δ_x , δ_y , δ_z , δ_w)

(δ_x , δ_y , δ_z , δ_w)

(δ_x , δ_y , δ_z , δ_w)

(δ_x , δ_y , δ_z , δ_w)

(δ_x , δ_y , δ_z , δ_w)

(δ_x , δ_y , δ_z , δ_w)

(δ_x , δ_y , δ_z , δ_w)

(δ_x , δ_y , δ_z , δ_w)

(δ_x , δ_y , δ_z , δ_w)

(δ_x , δ_y , δ_z , δ_w)

(δ_x , δ_y , δ_z , δ_w)

(δ_x , δ_y , δ_z , δ_w)

(δ_x , δ_y , δ_z , δ_w)

(δ_x , δ_y , δ_z , δ_w)

(δ_x , δ_y , δ_z , δ_w)

(δ_x , δ_y , δ_z , δ_w)

(δ_x , δ_y , δ_z , δ_w)

(δ_x , δ_y , δ_z , δ_w)

(δ_x , δ_y , δ_z , δ_w)

(δ_x , δ_y , δ_z , δ_w)

(δ_x , δ_y , δ_z , δ_w)

(δ_x , δ_y , δ_z , δ_w)

(δ_x , δ_y , δ_z , δ_w)

(δ_x , δ_y , δ_z , δ_w)

(δ_x , δ_y , δ_z , δ_w)

(δ_x , δ_y , δ_z , δ_w)

(δ_x , δ_y , δ_z , δ_w)

(δ_x , δ_y , δ_z , δ_w)

(δ_x , δ_y , δ_z , δ_w)

(δ_x , δ_y , δ_z , δ_w)

(δ_x , δ_y , δ_z , δ_w)

(δ_x , δ_y , δ_z , δ_w)

(δ_x , δ_y , δ_z , δ_w)

(δ_x , δ_y , δ_z , δ_w)

(δ_x , δ_y , δ_z , δ_w)

(δ_x , δ_y , δ_z , δ_w)

(δ_x , δ_y , δ_z , δ_w)

(δ_x , δ_y , δ_z , δ_w)

(δ_x , δ_y , δ_z , δ_w)

(δ_x , δ_y , δ_z , δ_w)

(δ_x , δ_y , δ_z , δ_w)

(δ_x , δ_y , δ_z , δ_w)

(δ_x , δ_y , δ_z , δ_w)

(δ_x , δ_y , δ_z , δ_w)

(δ_x , δ_y , δ_z , δ_w)

(δ_x , δ_y , δ_z , δ_w)

(δ_x , δ_y , δ_z , δ_w)

(δ_x , δ_y , δ_z , δ_w)

(δ_x , δ_y , δ_z , δ_w)

(δ_x , δ_y , δ_z , δ_w)

(δ_x , δ_y , δ_z , δ_w)

(δ_x , δ_y , δ_z , δ_w)

(δ_x , δ_y , δ_z , δ_w)

(δ_x , δ_y , δ_z , δ_w)

(δ_x , δ_y , δ_z , δ_w)

(δ_x , δ_y , δ_z , δ_w)

(δ_x , δ_y , δ_z , δ_w)

(δ_x , δ_y , δ_z , δ_w)

(δ_x , δ_y , δ_z , δ_w)

(δ_x , δ_y , δ_z , δ_w)

(δ_x , δ_y , δ_z , δ_w)

(δ_x , δ_y , δ_z , δ_w)

(δ_x , δ_y , δ_z , δ_w)

(δ_x , δ_y , δ_z , δ_w)

(δ_x , δ_y , δ_z , δ_w)

(δ_x , δ_y , δ_z , δ_w)

(δ_x , δ_y , δ_z , δ_w)

(δ_x , δ_y , δ_z , δ_w)

(δ_x , δ_y , δ_z , δ_w)

(δ_x , δ_y , δ_z , δ_w)

(δ_x , δ_y , δ_z , δ_w)

(δ_x , δ_y , δ_z , δ_w)

(δ_x , δ_y , δ_z , δ_w)

(δ_x , δ_y , δ_z , δ_w)

(δ_x , δ_y , δ_z , δ_w)

(δ_x , δ_y , δ_z , δ_w)

(δ_x , δ_y , δ_z , δ_w)

(δ_x , δ_y , δ_z , δ_w)

(δ_x , δ_y , δ_z , δ_w)

(δ_x , δ_y , δ_z , δ_w)

(δ_x , δ_y , δ_z , δ_w)

(δ_x , δ_y , δ_z , δ_w)

(δ_x , δ_y , δ_z , δ_w)

(δ_x , δ_y , δ_z , δ_w)

(δ_x , δ_y , δ_z , δ_w)

(δ_x , δ_y , δ_z , δ_w)

(δ_x , δ_y , δ_z , δ_w)

(δ_x , δ_y , δ_z , δ_w)

(δ_x , δ_y , δ_z , δ_w)

(δ_x , δ_y , δ_z , δ_w)

(δ_x , δ_y , δ_z , δ_w)

(δ_x , δ_y , δ_z , δ_w)

(δ_x , δ_y , δ_z , δ_w)

(δ_x , δ_y , δ_z , δ_w)

(δ_x , δ_y , δ_z , δ_w)

(δ_x , δ_y , δ_z , δ_w)

(δ_x , δ_y , δ_z , δ_w)

(δ_x , δ_y , δ_z , δ_w)

(δ_x , δ_y , δ_z , δ_w)

(δ_x , δ_y , δ_z , δ_w)

(δ_x , δ_y , δ_z , δ_w)

(δ_x , δ_y , δ_z , δ_w)

(δ_x , δ_y , δ_z , δ_w)

(δ_x , δ_y , δ_z , δ_w)

(δ_x , δ_y , δ_z , δ_w)

(δ_x , δ_y , δ_z , δ_w)

(δ_x , δ_y , δ_z , δ_w)

(δ_x , δ_y , δ_z , δ_w)

(δ_x , δ_y , δ_z , δ_w)

図2と同じ堤体に外力として地盤の振動($A_0=15000\mu$, $B=2.094379 \text{ rad/sec}$ ($T_0=3\text{sec}$), $V_0=305 \text{ m/sec}$)を与える。減衰比はすべての節点で0.2とした場合の応力分布(Dynamic)

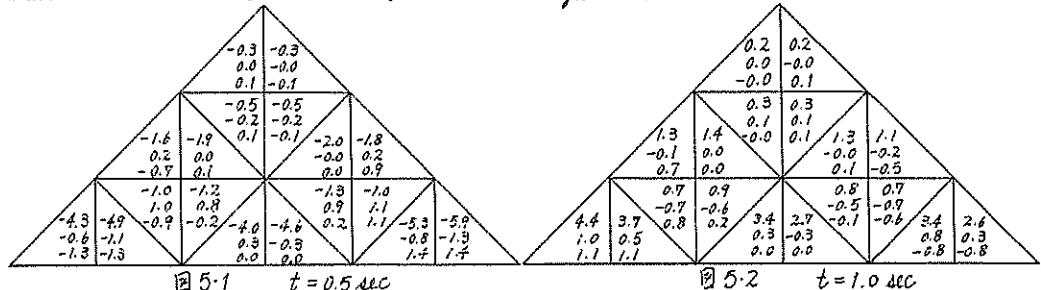


図2および図5と同じ条件で、 $T_0=0.15\text{sec}$ すなわち $\beta_0=41.8877907 \text{ rad/sec}$ (素の固有円振動数に近い)のみ変えた外力を与えた場合の応力分布(Dynamic.)

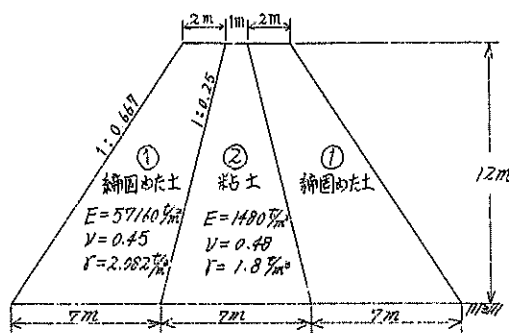
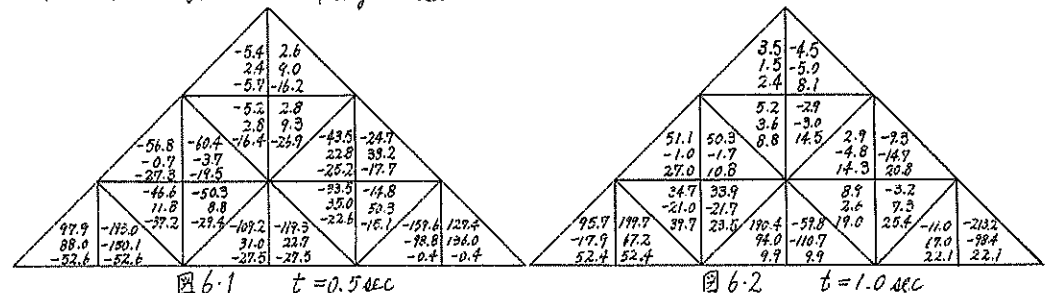


図7

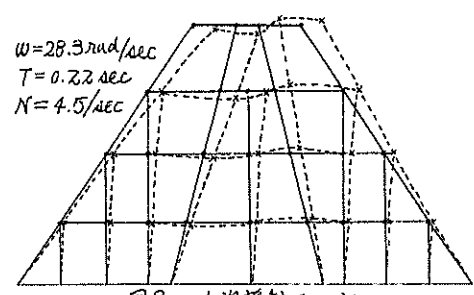


図8 1次振動モード

4. あとがき

計算例が少ないので、定性的な事に關してはさらに解析を重ねていく必要があり、また、本研究においては、地盤の振動を正弦波形の変位関数で規定したが、将来はアナログコンピューター、大型デジタルコンピューターを用いて、実際の地震記録を外力として入力できるプログラムを開発さればと考えます。

5. 参考文献

- 1) O.C.Zienkiewicz, Y.K.Cheung; *The Finite Element Method in Structural and Continuum Mechanics*, McGraw-Hill, 1967
- 2) Mostafa Dity, Joseph Penjani; *Response of Earth Dam to Traveling Seismic Waves*, Proceeding of A.S.C.E., SM2, March, 1969